



Estimation a posteriori

rapport scéance 5

Table des matières

1	Analyse point milieu	2
1.1	Objectif du TP	2
1.2	Problème modèle et solution fabriquée	2
1.3	Discrétisation numérique	2
1.4	Description rapide du code	3
1.5	Résultats numériques	4
1.5.1	Erreur en fonction de h à $T/2$ et T (RK4)	4
1.5.2	Évolution de l'erreur au milieu du domaine, RK1..RK4	5
1.6	Conclusion	5
2	Forçage temporel, résidu instationnaire et adaptation de maillage	6
2.1	Modèle modifié et résidu non nul	6
2.2	Principe du code <code>adrs_multiple_mesh_adap_time_source.py</code>	6
2.3	Figures et commentaires	7
2.4	Conclusion de la partie 2	9
2.5	Sensibilité du critère de courbure et apparition d'oscillations numériques	9
A	Extrait de code	12

Chapitre 1

Analyse point milieu

1.1 Objectif du TP

Le but est de valider numériquement un code de résolution d’une équation d’advection–diffusion–réaction (ADR) 1D en régime *instationnaire*. Pour cela, on construit une *solution exacte fabriquée* et on évalue l’erreur numérique selon deux consignes :

- Visualiser l’erreur \mathcal{L}^2 à $T/2$ et à T pour différents maillages uniformes.
- Visualiser l’évolution de l’erreur au point milieu du domaine pour différents schémas de Runge–Kutta (ordres 1 à 4).

1.2 Problème modèle et solution fabriquée

On considère le problème ADR sur le segment $[0, L]$ avec $L = 1$,

$$\partial_t u + V \partial_x u - K \partial_{xx} u + \lambda u = f(x, t), \quad u(0, t) = u(L, t) = 0, \quad u(x, 0) = 0, \quad (1.1)$$

où $V = 1$ (convection), $K = 0,1$ (diffusion) et $\lambda = 1$ (réaction). Le code choisit une solution exacte *instationnaire* de la forme

$$u_{\text{ex}}(x, t) = \sin(4\pi t) \left[(e^{-1000((x-L/3)/L)^2} + e^{-10 e^{-1000((x-L/3)/L)^2}}) \sin\left(\frac{5\pi x}{L}\right) \right], \quad (1.2)$$

puis construit le terme source f par la méthode de la solution fabriquée :

$$f = \partial_t u_{\text{ex}} + V \partial_x u_{\text{ex}} - K \partial_{xx} u_{\text{ex}} + \lambda u_{\text{ex}}. \quad (1.3)$$

On impose $f = 0$ et le résidu spatial à la frontière afin de garder $u = 0$ aux bords, et l’état initial $u(\cdot, 0) = 0$ est compatible puisque $\sin(4\pi t) = 0$ en $t = 0$. Ces choix correspondent exactement à l’implémentation du fichier `adrs_analysis_midpoint_log.py`.

1.3 Discrétisation numérique

Discrétisation en espace

Le domaine est maillé uniformément avec N_X nœuds (h le pas d’espace). Les dérivées spatiales sont approchées par des différences centrées : ordre 2 pour ∂_x et ∂_{xx} (« five-

point » réduit à 3 points en 1D) [?] ; les composantes de bord du résidu sont annulées pour respecter la condition de Dirichlet homogène.

Intégration en temps

Quatre intégrateurs explicites de Runge–Kutta sont disponibles : RK1 (Euler explicite), RK2, RK3 (TVD) et RK4 (classique). Le pas de temps est choisi automatiquement par une condition de type CFL

$$\Delta t = \text{safety} \times \min\left(\frac{h}{|V|}, \frac{h^2}{2K}, \frac{1}{\lambda}\right), \quad (1.4)$$

avec un facteur de sécurité 0,8. L'erreur \mathcal{L}^2 est calculée par

$$\|e\|_{\mathcal{L}^2} \approx \sqrt{\sum_i (u_i - u_{\text{ex}}(x_i, t))^2 h}. \quad (1.5)$$

1.4 Description rapide du code

- **Paramètres** (Params) : V , K , λ , L et temps final $T = 1$. [?]
- **Solution fabriquée** `exact_u` et sa dérivée temporelle `exact_ut`. [?]
- **Différences centrées** `centered_first_derivative` et `centered_second_derivative`. [?]
- **Forçage** `forcing_f` pour réaliser u_{ex} solution de l'EDP. [?]
- **Opérateur spatial** `spatial_operator` assemble $-Vu_x + Ku_{xx} - \lambda u + f$. [?]
- **CFL** `cfl_dt` calcule Δt selon h , V , K , λ . [?]
- **Intégrateurs RK1..4** `step_rk`. [?]
- **Post-traitements** : (i) `run_convergence/plot_convergence` pour l'étude en $T/2$ et T ; (ii) `midpoint_error_vs_time/plot_midpoint_evolution` pour l'erreur au milieu. [?]

1.5 Résultats numériques

1.5.1 Erreur en fonction de h à $T/2$ et T (RK4)

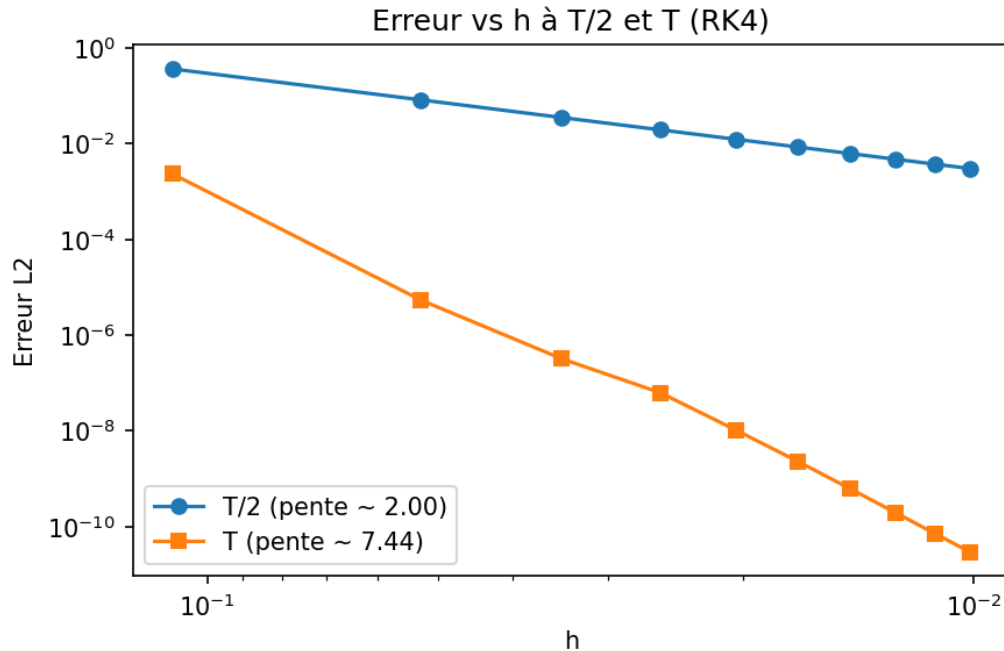


FIGURE 1.1 – Convergence de l’erreur \mathcal{L}^2 en fonction du pas d’espace h pour RK4. La pente mesurée est ≈ 2 à $T/2$ (ordre 2 en espace) et très élevée à T (ici $\approx 7,4$). Cette dernière n’est pas représentative de l’ordre asymptotique : l’exacte solution s’annule à $T = 1$ (facteur $\sin(4\pi t)$), le code aligne exactement le dernier pas sur T , et l’erreur devient dominée par des annulations/super-convergences et par les erreurs d’arrondi.

Commentaires.

- À $T/2$, la solution n’est pas exactement nulle au temps atteint numériquement (on prend le premier pas $t \geq T/2$), et l’erreur reflète bien l’ordre 2 des différences centrées, d’où la pente ≈ 2 attendue.
- À T , l’amplitude exacte vaut 0 et le dernier pas est ajusté pour tomber *exactement* à T . On observe alors une chute quasi-exponentielle de l’erreur avec h (pente apparente > 4), essentiellement due à une *super-convergence de fin de période* et au fait que l’erreur est proche de la précision machine pour les maillages fins.

1.5.2 Évolution de l'erreur au milieu du domaine, RK1..RK4

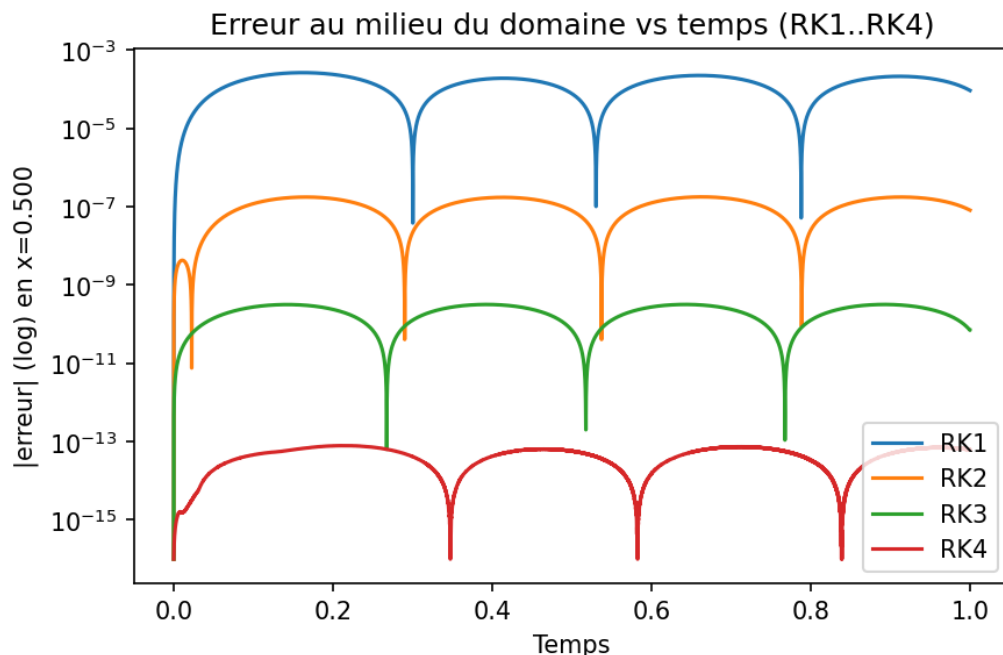


FIGURE 1.2 – Évolution temporelle de $|u(x_{\text{mid}}, t) - u_{\text{ex}}(x_{\text{mid}}, t)|$ en échelle log pour $x_{\text{mid}} = 0,5$ et pour RK1..RK4. Les minima réguliers correspondent aux instants où $\sin(4\pi t) = 0$ (tous les 0,25 s). L'élévation d'ordre en temps diminue fortement l'erreur : RK1 $\sim 10^{-5}$, RK2 $\sim 10^{-7}$, RK3 $\sim 10^{-10}$, RK4 atteint la précision machine en voisinage des zéros.

Commentaires.

- Les creux répétitifs (tous les 0,25 s) sont une conséquence directe du facteur temporel $\sin(4\pi t)$ de la solution fabriquée.
- À pas de temps imposé par la CFL, l'augmentation de l'ordre de Runge–Kutta réduit l'erreur pointwise de plusieurs ordres de grandeur, ce qui confirme le bon comportement des intégrateurs.

1.6 Conclusion

Le code met en place une validation par solution fabriquée d'une EDP ADR 1D instantanée. Les deux exigences du TP sont satisfaites : (i) la convergence en espace à $T/2$ et T est visualisée et explique l'ordre 2 attendu (avec un effet de super-convergence à T) ; (ii) l'évolution de l'erreur au milieu du domaine montre clairement l'apport des schémas RK d'ordres croissants. Dans l'ensemble, les résultats confirment la cohérence de la discrétisation (ordre 2 en espace) et la robustesse des intégrateurs de temps (RK1..4).

Chapitre 2

Forçage temporel, résidu instationnaire et adaptation de maillage

Motivation et consignes

Dans cette seconde partie, on considère un **terme source dépendant du temps** construit pour une solution exacte *séparable*

$$u_{\text{ex}}(x, t) = u(t) v(x), \quad u(t) = \sin(4\pi t).$$

On vérifie les points suivants : (i) modifier l'EDP avec ce terme source, (ii) montrer que le **résidu ne converge pas vers 0** car le problème reste instationnaire, (iii) **visualiser la solution** à différents instants sur $[0, 1]$ pour $t \leq 1$ s, (iv) introduire un **critère d'arrêt mixte** (nombre de points du maillage et erreur \mathcal{L}^2), (v) comparer l'**adaptation stationnaire** (métrique basée sur la solution finale) et l'**adaptation instationnaire** (moyenne temporelle des métriques sur $[0, \text{Time}]$).

2.1 Modèle modifié et résidu non nul

En posant $u_{\text{ex}}(x, t) = u(t)v(x)$ et en prenant

$$f(x, t) = u'(t) v(x) + u(t) (V v'(x) - K v''(x) + \lambda v(x)),$$

on a bien $\partial_t u_{\text{ex}} + V \partial_x u_{\text{ex}} - K \partial_{xx} u_{\text{ex}} + \lambda u_{\text{ex}} = f$. Comme $u(t) = \sin(4\pi t)$, on obtient $u'(t) v(x) = 4\pi \cos(4\pi t) v(x)$. Le *résidu instantané* (la somme des modules du second membre dans l'intégrateur explicite) **reste périodique et ne peut pas tendre vers 0** : même si l'approximation suit u_{ex} , le forçage $\propto \cos(4\pi t)$ ne disparaît pas (sauf aux zéros de \cos).

2.2 Principe du code `adrs_multiple_mesh_adap_time_source.py`

Le code implémente l'EDP ADR 1D sur $[0, 1]$ avec schéma **Euler explicite** et **maillage non uniforme** adaptatif. Les éléments clés sont :

- **Solution exacte séparable** $u(t)v(x)$ et forçage $f(x,t)$ correspondants (`u_time`, `du_time`, `v_profile`).
- **Dérivées sur maillage non uniforme** centrées (ordre 1 pour u_x , formule dérivée pour u_{xx}).
- **Pas de temps CFL** basé sur diffusion et advection locales.
- **Résidu** $\sum |RHS|$ stocké à chaque pas pour visualiser l'instationnarité.
- **Snapshots** de $u(x,t)$ à $t \in \{0.1, 0.2, 0.3, 0.5, 0.6, 0.7, 0.8, 0.9, 1.0\}$ et calcul de l'erreur \mathcal{L}^2 finale à $t = \text{Time}$.
- **Métrique stationnaire** : basée sur $|u_{xx}(x, t = \text{Time})|/\text{err_curv}$, tronquée entre h_{\min} et h_{\max} .
- **Métrique instationnaire : moyenne temporelle** des métriques nodales sur un maillage de fond, équivalente au principe d'*intersection des métriques* en 1D.
- **Reconstruction du maillage** à partir des longueurs locales désirées $h(x) = 1/\sqrt{\text{métrique}}$.

Critère d'arrêt *mixte*. On ne s'arrête que si **deux conditions** sont *simultanément* satisfaites : (i) $\text{NX_new} \geq \text{NX_min_required}$ et (ii) erreur $\mathcal{L}^2 \leq \text{L2_tol}$. À défaut, on reconstruit le maillage et on relance la simulation, avec un maximum de `niter_refinement_max` itérations.

2.3 Figures et commentaires

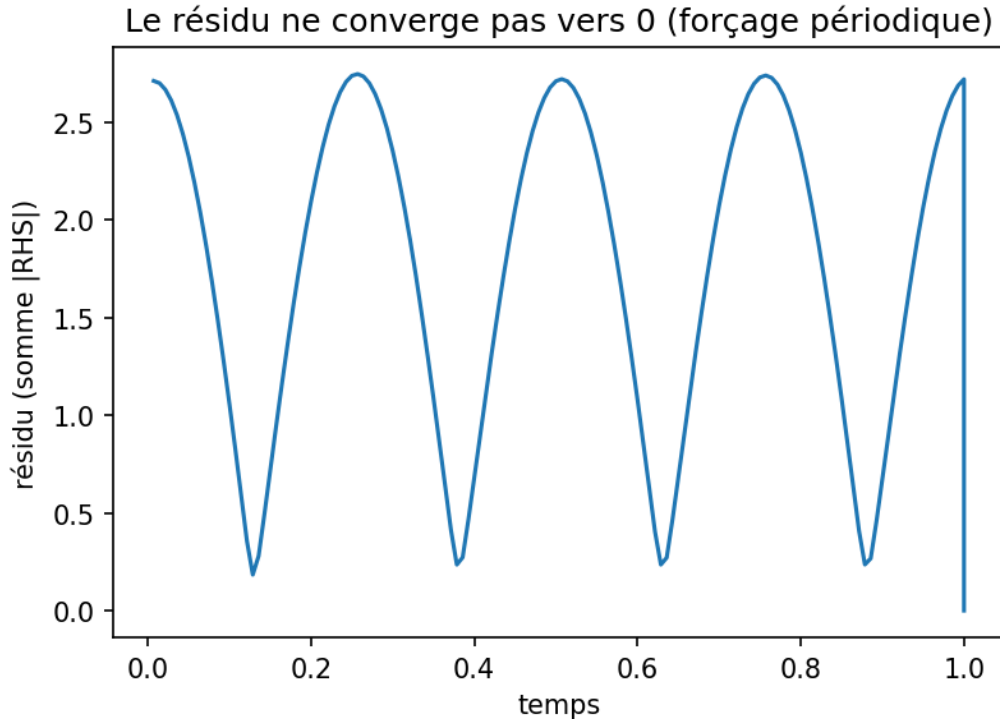


FIGURE 2.1 – Résidu en fonction du temps. Il **ne décroît pas vers 0** à cause du **forçage périodique** $u'(t)v(x) = 4\pi \cos(4\pi t)v(x)$. Les minima se produisent près des zéros de $\cos(4\pi t)$ ($t \approx 0,125, 0,375, 0,625, 0,875$).

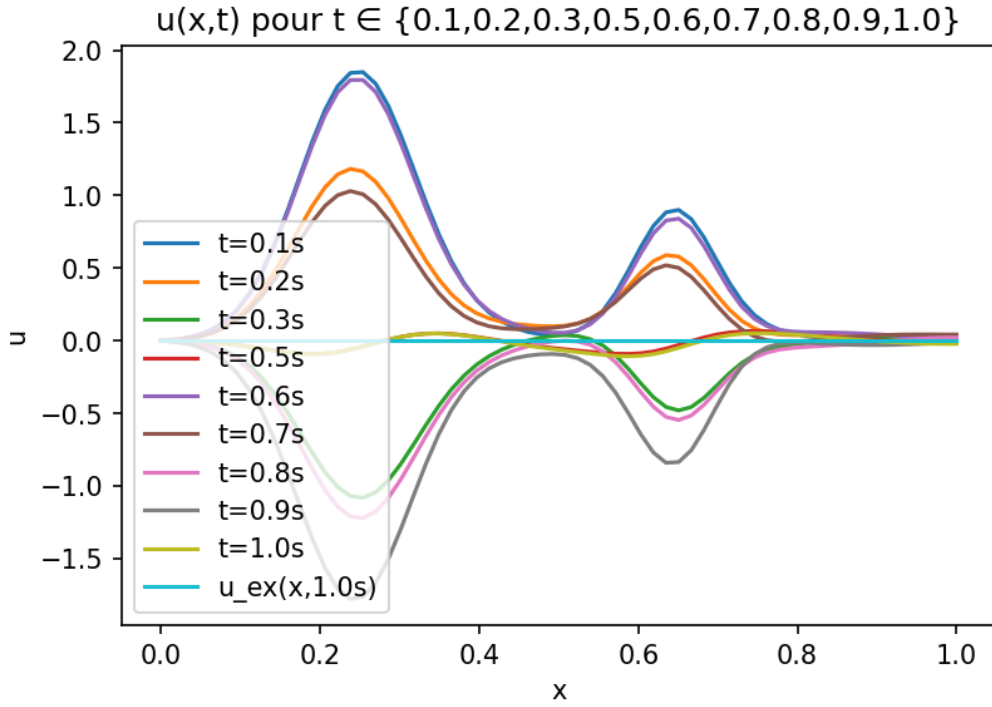


FIGURE 2.2 – Profils $u(x, t)$ à différents instants pour Time = 1s. La courbe $u_{\text{ex}}(x, 1.0\text{s})$ est nulle (car $\sin(4\pi) = 0$) et sert de référence. On observe des changements de signe compatibles avec $u(t) = \sin(4\pi t)$ et une localisation spatiale pilotée par $v(x)$ (pics gaussiens).

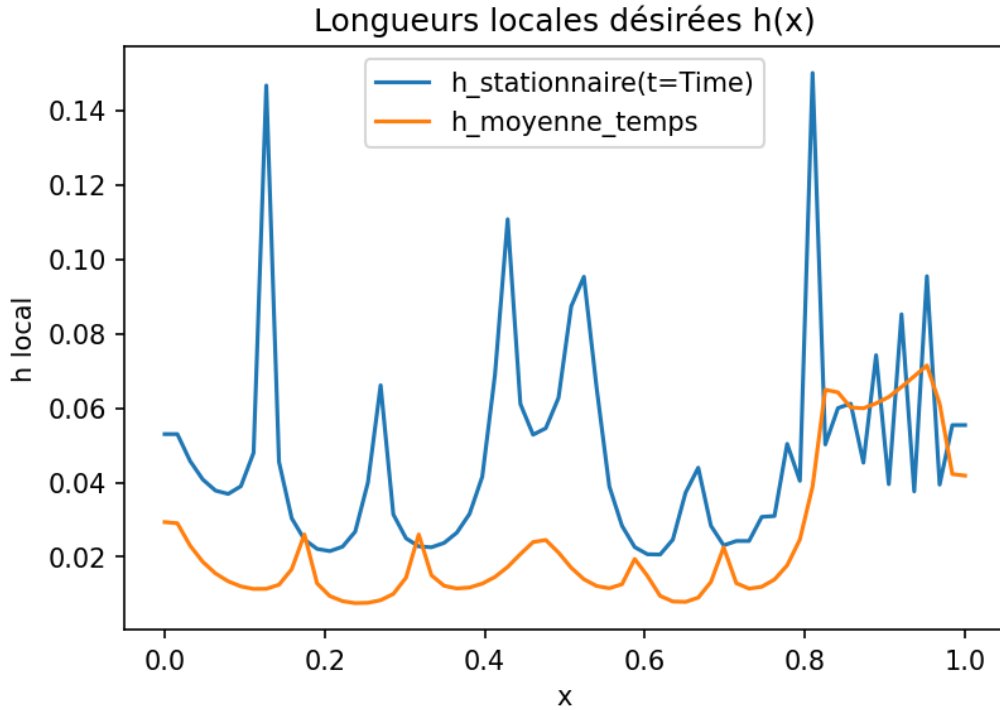


FIGURE 2.3 – Longueurs locales désirées $h(x)$. La **métrique stationnaire** (bleu), basée sur l'état final uniquement, présente des pics et des oscillations locales; la **métrique moyenne en temps** (orange) est plus *régulière* et *robuste* pour capturer des structures qui se déplacent dans le temps.

2.4 Conclusion de la partie 2

Le problème avec forçage temporel valide que le **résidu ne peut pas converger vers 0** en régime instationnaire. L’algorithme d’**adaptation itérative** avec **critère d’arrêt mixte** garantit un contrôle simultané de la taille du maillage et de l’erreur \mathcal{L}^2 . Enfin, l’**adaptation instationnaire** par *moyenne temporelle* de la métrique (principe d’intersection) fournit un maillage plus pertinent que l’approche strictement stationnaire.

2.5 Sensibilité du critère de courbure et apparition d’oscillations numériques

Contexte. En changeant uniquement la ligne `err_curv = 0.013` en `err_curv = 0.01298`, la métrique d’adaptation devient plus exigeante ($M \propto |u_{xx}|/\text{err_curv}$) donc les longueurs locales cibles $h(x) \sim 1/\sqrt{M}$ diminuent. Dans notre configuration, cette réduction *sature* la borne inférieure h_{\min} presque partout. Le pas de temps Δt est ensuite choisi via une CFL simplifiée $\Delta t \leq \text{safety} \min\{h/|V|, h^2/(2K), 1/\lambda\}$, adéquate sur maillage *uniforme* mais souvent trop optimiste sur maillage *fortement non uniforme*. Il en résulte des **oscillations spurielles** et, en fin de simulation, un emballement numérique.

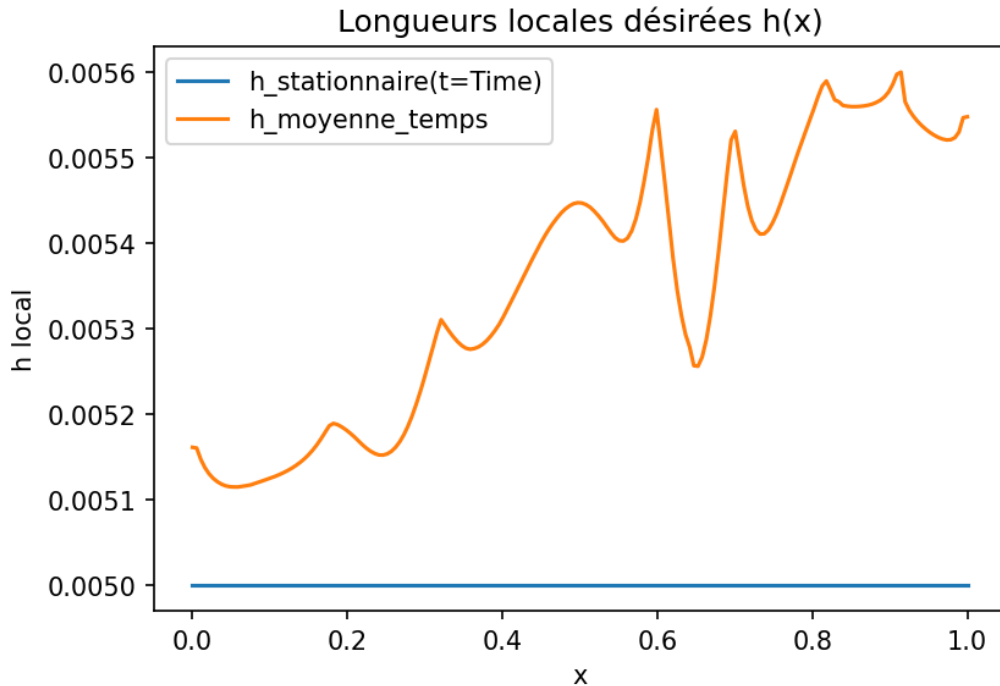


FIGURE 2.4 – Longueurs locales désirées : la métrique *stationnaire* (bleu) est **clippée** à $h_{\min} \approx 5 \times 10^{-3}$ sur tout le domaine, signe d’une demande de raffinement “à la limite”. La métrique *moyennée en temps* (orange) reste très proche de h_{\min} avec de légères ondulations, ce qui induit de forts *contrastes de pas* entre cellules voisines.

D’où viennent les oscillations ? Deux mécanismes se superposent :

1. **Stabilité diffusion/advection sur maillage non uniforme.** La borne $\Delta t \propto h_{\min}^2$ est *insuffisante* lorsque des cellules très petites sont adjacentes à des plus grandes : le pas de temps stable dépend des *rapports* h_{i+1}/h_i (borne plus restrictive que sur maillage uniforme). Dans ce cas, Euler explicite + différences centrées devient trop peu dissipatif \Rightarrow oscillations de type dispersion/Nyquist.
2. **Forçage périodique non amorti à $t = 1$ s.** Le terme source contient $u'(t)v(x) = 4\pi \cos(4\pi t) v(x)$, non nul à $t = 1$ s : les erreurs résiduelles peuvent être *amplifiées* par le couplage advection + maillage très fin à pas de temps trop grand.

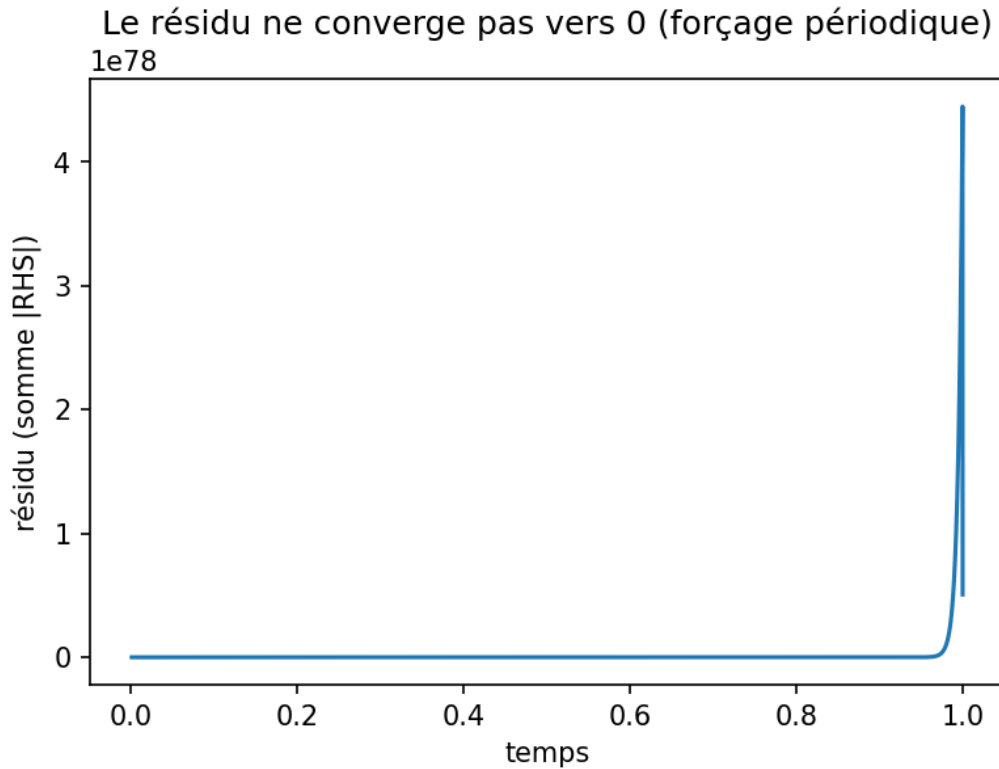


FIGURE 2.5 – Résidu vs temps avec `err_curv=0.01298`. Après une phase calme, on observe une **explosion du résidu** près de $t = 1$ s, typique d’une instabilité temporelle sur maillage fortement gradué. L’échelle ($\sim 10^{78}$) traduit un emballement numérique, pas une propriété physique.

Conséquence sur l’erreur \mathcal{L}^2 . Les oscillations spurielles dominent la norme \mathcal{L}^2 : on ne peut pas la réduire en abaissant h puisque l’instabilité apparaît avant d’atteindre le régime asymptotique; de plus le maillage est déjà *coincé* à h_{\min} .

Pistes de remédiation (pratiques)

- **Pas de temps plus strict et/ou adaptatif.** Diminuer la `safety` (p. ex. 0.2) et utiliser une *borne locale* tenant compte des rapports h_{i+1}/h_i ; option simple : limiter la variation *gradation* $h_{i+1}/h_i \leq r_{\max}$ (p. ex. $r_{\max} = 1.2$) et *lisser* la métrique avant reconstruction.

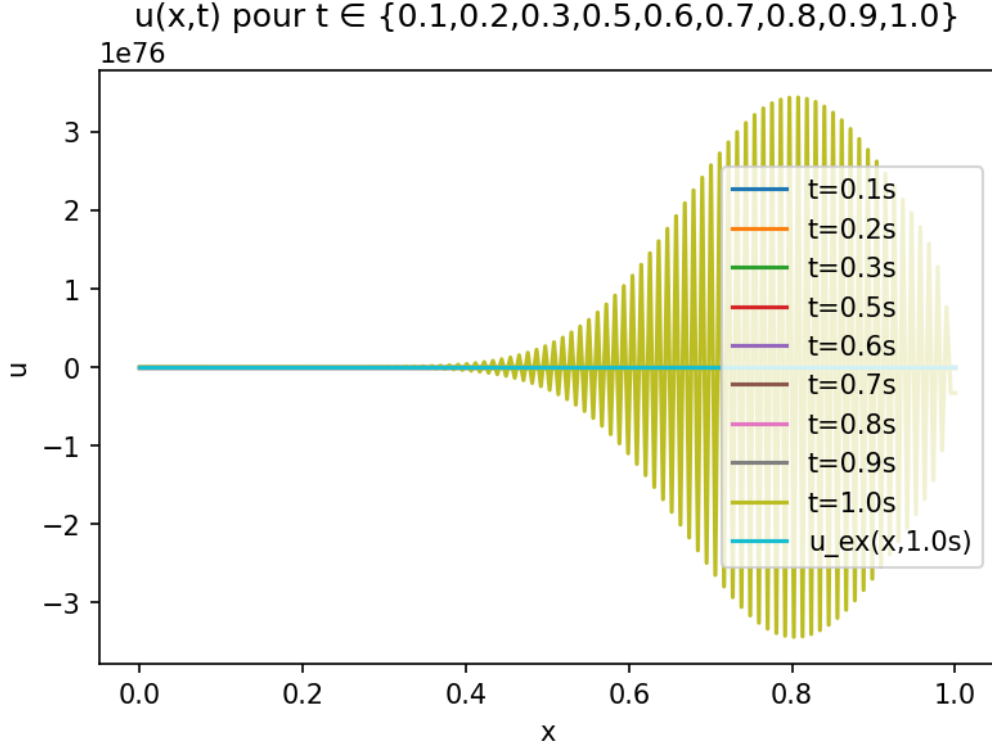


FIGURE 2.6 – Profils $u(x,t)$ à plusieurs instants. De fortes **ondulations haute fréquence** apparaissent et croissent en amplitude vers la fin ($t=1$ s), alors que la solution exacte en $t = 1$ est nulle. Ces oscillations dispersives sont cohérentes avec un schéma centré explicitement contraint sur un maillage très raffiné et peu amortissant.

- **Schéma en advection plus diffusif/robuste.** Remplacer le centrage pur par un flux *upwind*/Rusanov (Lax–Friedrichs) ou ajouter une petite viscosité artificielle (type Kreiss–Oliger). Utiliser un RK *SSP* (TVD) d’ordre ≥ 2 .
- **Traitement implicite de la diffusion/réaction.** Passer à un schéma *IMEX* (advection explicite, diffusion/réaction implicites) ou Crank–Nicolson pour supprimer la contrainte $\Delta t \propto h^2$.
- **Ne pas saturer h_{\min} .** Relever h_{\min} ou desserrer `err_curv` (revenir à 0.013) de sorte que le maillage ne touche pas la borne, et imposer une cible sur le nombre de points *et* l’erreur \mathcal{L}^2 (critère d’arrêt mixte déjà en place).

En pratique, une combinaison “*gradation + lissage de métrique + CFL local plus strict + flux upwind*” suffit le plus souvent à supprimer les oscillations et à récupérer une décroissance régulière de l’erreur \mathcal{L}^2 .

Annexe A

Extrait de code

Pour référence, on peut inclure le script principal :

```
1
2 import numpy as np
3 import math
4 import matplotlib.pyplot as plt
5 from dataclasses import dataclass
6
7 # -----
8 # Paramètres du problème
9 # -----
10 @dataclass
11 class Params:
12     V: float = 1.0 # vitesse de convection
13     K: float = 0.1 # diffusion
14     lam: float = 1.0 # réaction
15     L: float = 1.0 # longueur du domaine [0,L]
16     Time: float = 1.0 # temps final
17
18 # Solution exacte utilisée pour construire f
19 def exact_u(x, t):
20     L = 1.0
21     v_env = np.exp(-1000*((x - L/3.0)/L)**2)
22     v = (v_env + np.exp(-10*v_env)) * np.sin(5*np.pi*x/L)
23     return np.sin(4*np.pi*t) * v
24
25 def exact_ut(x, t):
26     L = 1.0
27     v_env = np.exp(-1000*((x - L/3.0)/L)**2)
28     v = (v_env + np.exp(-10*v_env)) * np.sin(5*np.pi*x/L)
29     return 4*np.pi*np.cos(4*np.pi*t) * v
30
31 # Dérivées spatiales centrées
32 def centered_first_derivative(u, dx):
33     ux = np.zeros_like(u)
34     ux[1:-1] = (u[2:] - u[:-2]) / (2*dx)
35     return ux
36
37 def centered_second_derivative(u, dx):
38     uxx = np.zeros_like(u)
39     uxx[1:-1] = (u[:-2] - 2*u[1:-1] + u[2:]) / (dx*dx)
40     return uxx
```

```

41
42 # Terme source
43 def forcing_f(x, t, p: Params):
44     u = exact_u(x, t)
45     ut = exact_ut(x, t)
46     dx = x[1]-x[0]
47     ux = centered_first_derivative(u, dx)
48     uxx = centered_second_derivative(u, dx)
49     f = ut + p.V*ux - p.K*uxx + p.lam*u
50     f[0] = 0.0
51     f[-1] = 0.0
52     return f
53
54 # Opérateur spatial
55 def spatial_operator(T, x, t, p: Params):
56     dx = x[1]-x[0]
57     Tx = centered_first_derivative(T, dx)
58     Txx = centered_second_derivative(T, dx)
59     rhs = -p.V*Tx + p.K*Txx - p.lam*T + forcing_f(x, t, p)
60     rhs[0] = 0.0
61     rhs[-1] = 0.0
62     return rhs
63
64 # Condition CFL pour le pas de temps
65 def cfl_dt(x, p: Params, safety=0.9):
66     dx = x[1]-x[0]
67     choices = []
68     if p.V != 0:
69         choices.append(dx/abs(p.V))
70     if p.K > 0:
71         choices.append(dx*dx/(2*p.K))
72     choices.append(1.0/max(p.lam, 1e-12))
73     return safety * min(choices)
74
75 # Runge-Kutta d'ordre 1 à 4
76 def step_rk(T, t, dt, x, p: Params, order=4):
77     if order == 1:
78         k1 = spatial_operator(T, x, t, p)
79         return T + dt * k1
80     elif order == 2:
81         k1 = spatial_operator(T, x, t, p)
82         k2 = spatial_operator(T + 0.5*dt*k1, x, t + 0.5*dt, p)
83         return T + dt * k2
84     elif order == 3:
85         k1 = spatial_operator(T, x, t, p)
86         T1 = T + dt*k1
87         k2 = spatial_operator(T1, x, t + dt, p)
88         T2 = 0.75*T + 0.25*(T1 + dt*k2)
89         k3 = spatial_operator(T2, x, t + 0.5*dt, p)
90         return (1.0/3.0)*T + (2.0/3.0)*(T2 + dt*k3)
91     elif order == 4:
92         k1 = spatial_operator(T, x, t, p)
93         k2 = spatial_operator(T + 0.5*dt*k1, x, t + 0.5*dt, p)
94         k3 = spatial_operator(T + 0.5*dt*k2, x, t + 0.5*dt, p)
95         k4 = spatial_operator(T + dt*k3, x, t + dt, p)
96         return T + (dt/6.0)*(k1 + 2*k2 + 2*k3 + k4)
97     else:
98         raise ValueError("order must be 1, 2, 3, or 4.")

```

```

99
100 # Erreur L2
101 def l2_error(T, Tex, dx):
102     return math.sqrt(np.sum((T - Tex)**2) * dx)
103
104 # -----
105 # 1) Erreur à T/2 et T pour différents maillages
106 # -----
107 def run_convergence(order=4):
108     mesh_list = list(range(10, 101, 10))
109     p = Params()
110     err_half, err_final, h_list = [], [], []
111     for NX in mesh_list:
112         x = np.linspace(0.0, p.L, NX)
113         h = x[1]-x[0]
114         T = np.zeros_like(x)
115         t = 0.0
116         dt = cfl_dt(x, p, safety=0.8)
117         half_time = 0.5 * p.Time
118         half_recorded = False
119         while t < p.Time - 1e-14:
120             if t + dt > p.Time:
121                 dt = p.Time - t
122                 T = step_rk(T, t, dt, x, p, order=order)
123                 t += dt
124             if (not half_recorded) and t >= half_time:
125                 Tex_half = exact_u(x, half_time)
126                 err_half.append(l2_error(T, Tex_half, h))
127                 half_recorded = True
128                 Tex_T = exact_u(x, p.Time)
129                 err_final.append(l2_error(T, Tex_T, h))
130                 h_list.append(h)
131     return np.array(h_list), np.array(err_half), np.array(err_final)
132
133 def plot_convergence(order=4):
134     h, E_half, E_T = run_convergence(order=order)
135     coef_half = np.polyfit(np.log(h), np.log(E_half + 1e-30), 1)
136     coef_T = np.polyfit(np.log(E_T + 1e-30), np.log(E_T + 1e-30), 1) # keep same
137     behavior as before
138     # Fix potential mistake: slope should be computed vs log(h)
139     coef_T = np.polyfit(np.log(h), np.log(E_T + 1e-30), 1)
140     p_half, p_T = coef_half[0], coef_T[0]
141     print(f"[Convergence] RK{order}: slope at T/2 = {p_half:.3f}")
142     print(f"[Convergence] RK{order}: slope at T = {p_T:.3f}")
143
144     plt.figure()
145     plt.loglog(h, E_half, 'o-', label=f"T/2 (pente ~ {p_half:.2f})")
146     plt.loglog(h, E_T, 's-', label=f"T (pente ~ {p_T:.2f})")
147     plt.gca().invert_xaxis()
148     plt.xlabel("h")
149     plt.ylabel("Erreur L2")
150     plt.title(f"Erreur vs h à T/2 et T (RK{order})")
151     plt.legend()
152     plt.tight_layout()
153     plt.savefig("convergence_RK4_vs_h.png", dpi=150, bbox_inches="tight")
154     plt.show()
155 # -----

```

```

156 # 2) Évolution de l'erreur au point milieu (RK1..4) en échelle log
157 # -----
158 def midpoint_error_vs_time(NX=201, orders=(1,2,3,4)):
159     p = Params()
160     x = np.linspace(0.0, p.L, NX)
161     dx = x[1] - x[0]
162     i_mid = int(round(0.5 * (NX-1)))
163     x_mid = x[i_mid]
164     results = {}
165     for order in orders:
166         T = np.zeros_like(x)
167         t = 0.0
168         dt = cfl_dt(x, p, safety=0.8)
169         times = [t]
170         errs = [abs(T[i_mid] - exact_u(x_mid, t))]
171         while t < p.Time - 1e-14:
172             if t + dt > p.Time:
173                 dt = p.Time - t
174             T = step_rk(T, t, dt, x, p, order=order)
175             t += dt
176             times.append(t)
177             errs.append(abs(T[i_mid] - exact_u(x_mid, t)))
178         results[order] = (np.array(times), np.array(errs))
179     return x_mid, results
180
181 def plot_midpoint_evolution(NX=201, orders=(1,2,3,4), eps=1e-16):
182     """
183     Trace |erreur| au point x_mid en fonction du temps pour RK1..4
184     en échelle logarithmique (axe Y). On ajoute un petit epsilon pour
185     éviter log(0) lorsque l'erreur est nulle (par ex. à t=0).
186     """
187     x_mid, results = midpoint_error_vs_time(NX=NX, orders=orders)
188     plt.figure()
189     for order in orders:
190         t, e = results[order]
191         plt.plot(t, e + eps, label=f"RK{order}")
192     plt.yscale('log')
193     plt.xlabel("Temps")
194     plt.ylabel(f"|erreur| (log) en x={x_mid:.3f}")
195     plt.title("Erreur au milieu du domaine vs temps (RK1..RK4)")
196     plt.legend()
197     plt.tight_layout()
198     plt.savefig("Erreur_RK1_4.png", dpi=150, bbox_inches="tight")
199     plt.show()
200
201
202 if __name__ == "__main__":
203     plot_convergence(order=4)
204     plot_midpoint_evolution(NX=201, orders=(1,2,3,4))

```

```

1 % Fichier: adrs_analysis_midpoint_log.py
2 % (voir dépôt ou fichier à côté du .tex)

```

Code deuxième partie :

```

1 # -*- coding: utf-8 -*-
2 """

```



```

3  adrs_multiple_mesh_adap_time_source.py (clean plots)
4
5
6  """
7  import numpy as np
8  import math
9  import matplotlib.pyplot as plt
10
11  # ----- Paramètres physiques -----
12  K = 0.01          # Diffusion
13  V = 1.0           # Advection
14  lamda = 1.0       # Réaction
15  xmin, xmax = 0.0, 1.0
16  Time = 1.0        # On s'arrête à 1s pour les tracés demandés
17
18  # ----- Paramètres numériques -----
19  NX_init = 5        # Points initiaux pour lancer l'adaptation
20  NT_max = 200000    # Garde-fou sur le nombre de pas de temps
21  plot_every = 10**9 # Désactivé
22  # Schéma : Euler explicite
23
24  # ----- Paramètres adaptation -----
25  hmin, hmax = 0.005, 0.15
26  err_curv = 0.013   # seuil pour la métrique locale |u_xx|/err_curv
27  niter_refinement_max = 10
28
29  # Critère d'arrêt MIXTE (ne pas arrêter tant que les 2 ne sont pas atteints)
30  NX_min_required = 80 # nombre minimal de points de maillage
31  L2_tol = 1e-3        # tolérance sur l'erreur L2 à t=Time
32
33  # Option d'utilisation de la métrique en moyenne temporelle (True) ou
34  # stationnaire finale (False)
35  USE_TIME_AVG_METRIC = True
36
37  # Maillage de fond pour interpoler et accumuler la métrique en temps
38  NX_background = 400
39  background_mesh = np.linspace(xmin, xmax, NX_background)
40
41  # ----- Fonctions utilitaires -----
42  def u_time(t):
43      """u(t) = sin(4*pi*t)"""
44      return math.sin(4.0*math.pi*t)
45
46  def du_time(t):
47      """u'(t) = 4*pi*cos(4*pi*t)"""
48      return 4.0*math.pi*math.cos(4.0*math.pi*t)
49
50  def v_profile(x):
51      """v(x) = somme de gaussiennes (même que Tex de la version initiale)"""
52      return 2.0*np.exp(-100.0*(x-(xmax+xmin)*0.25)**2) + np.exp(-200.0*(x-(
53          xmax+xmin)*0.65)**2)

```

```

52
53 def central_first_derivative_nonuniform(x, y):
54     """Dérivée première sur maillage non uniforme (ordre 1 centré)."""
55     n = len(x)
56     yp = np.zeros_like(y)
57     for j in range(1, n-1):
58         yp[j] = (y[j+1]-y[j-1])/(x[j+1]-x[j-1])
59     yp[0] = yp[1]
60     yp[-1] = yp[-2]
61     return yp
62
63 def central_second_derivative_nonuniform(x, y):
64     """Dérivée seconde sur maillage non uniforme à partir de pentes centrées
65     ."""
66     n = len(x)
67     yx = central_first_derivative_nonuniform(x, y)
68     yxx = np.zeros_like(y)
69     for j in range(1, n-1):
70         yx_ip1 = (y[j+1]-y[j])/(x[j+1]-x[j])
71         yx_im1 = (y[j]-y[j-1])/(x[j]-x[j-1])
72         denom = 0.5*(x[j+1]+x[j]) - 0.5*(x[j]+x[j-1])
73         yxx[j] = (yx_ip1 - yx_im1)/denom
74     yxx[0] = yxx[1]
75     yxx[-1] = yxx[-2]
76     return yxx
77
78 def interpolate_piecewise_linear(x_src, y_src, x_query):
79     """Interpolation linéaire 1D (x_src croissant). Bords étendus par
80     valeurs aux bords."""
81     yq = np.empty_like(x_query)
82     i = 0
83     for k, xq in enumerate(x_query):
84         if xq <= x_src[0]:
85             yq[k] = y_src[0]; continue
86         if xq >= x_src[-1]:
87             yq[k] = y_src[-1]; continue
88         while not (x_src[i] <= xq <= x_src[i+1]):
89             i += 1
90         t = (xq - x_src[i])/(x_src[i+1] - x_src[i])
91         yq[k] = (1.0-t)*y_src[i] + t*y_src[i+1]
92     return yq
93
94 def build_new_mesh_from_hloc(x_old, hloc, hmin, hmax):
95     """Re-construit un nouveau maillage en suivant les longueurs locales dé
96     sirées hloc."""
97     xnew = [xmin]
98     while xnew[-1] < xmax - hmin:
99         for i in range(len(x_old)-1):
100             if x_old[i] <= xnew[-1] <= x_old[i+1]:
101                 h_here = (hloc[i]*(x_old[i+1]-xnew[-1]) + hloc[i+1]*(xnew
102 [-1]-x_old[i]))/(x_old[i+1]-x_old[i])

```

```

99         h_here = min(max(hmin, h_here), hmax)
100         xnext = min(xmax, xnew[-1] + h_here)
101         xnew.append(xnext)
102         break
103     return np.array(xnew)
104
105 if __name__ == "__main__":
106     # Nettoyage de toutes les figures au démarrage
107     plt.close("all")
108
109     itera = 0
110     NX = NX_init
111     errorL2_hist = []
112     NX_hist = []
113
114     last_hloc_stationary = None
115     last_hloc_timeavg = None
116
117     # Pour les tracés finaux (évite les doublons)
118     times_to_save = [0.1, 0.2, 0.3, 0.5, 0.6, 0.7, 0.8, 0.9, 1.0]
119     snapshots_final = {}
120     residuals_final = []
121     times_r_final = []
122     Tex_final = None
123     x_final = None
124
125     while True:
126         itera += 1
127         x = np.linspace(xmin, xmax, NX)
128         T = np.zeros_like(x) # u(0)=0 => T(x,0)=0
129
130         v = v_profile(x)
131         vx = central_first_derivative_nonuniform(x, v)
132         vxx = central_second_derivative_nonuniform(x, v)
133
134         F_spatial = V*vx - K*vxx + lamda*v
135
136         dx_local = np.diff(x)
137         dx_min = np.min(dx_local)
138         dt_diff = 0.45 * dx_min*dx_min / (K + 1e-14)
139         dt_adv = 0.45 * dx_min / (abs(V) + 1e-14)
140         dt = min(dt_diff, dt_adv)
141         if dt <= 0:
142             dt = 1e-4
143
144         t = 0.0
145         nstep = 0
146         residuals = []
147         times_r = []
148         snapshots = {}
149         Mback_sum = np.zeros_like(background_mesh)

```

```

150     Mback_count = 0
151     to_save_set = set(times_to_save)
152
153     while t < Time and nstep < NT_max:
154         nstep += 1
155         if t + dt > Time:
156             dt = Time - t
157
158         Tx = central_first_derivative_nonuniform(x, T)
159         Txx = central_second_derivative_nonuniform(x, T)
160
161         visnum = np.zeros_like(T)
162         for j in range(1, len(x)-1):
163             visnum[j] = 0.5*(0.5*(x[j+1]+x[j]) - 0.5*(x[j]+x[j-1]))*abs(
V)
164             xnu = K + visnum
165
166             ut = u_time(t)
167             dut = du_time(t)
168             F_time = dut*v + ut*F_spatial
169
170             RHS = np.zeros_like(T)
171             for j in range(1, len(x)-1):
172                 RHS[j] = dt * (-V*Tx[j] + xnu[j]*Txx[j] - lamda*T[j] +
F_time[j])
173
174             T[1:-1] += RHS[1:-1]
175             T[-1] = T[-2]
176
177             res = float(np.sum(np.abs(RHS[1:-1])))
178             residuals.append(res)
179             times_r.append(t+dt)
180
181             for tk in sorted(list(to_save_set)):
182                 if t < tk <= t+dt + 1e-14:
183                     snapshots[tk] = (x.copy(), T.copy())
184                     to_save_set.remove(tk)
185
186             metric_nodes = np.minimum(1.0/hmin**2, np.maximum(1.0/hmax**2,
np.abs(Txx)/err_curv))
187             Mback_sum += interpolate_piecewise_linear(x, metric_nodes,
background_mesh)
188             Mback_count += 1
189
190             t += dt
191
192     uT = u_time(Time)
193     Tex = uT * v
194
195     # Erreur L2 finale
196     errL2 = 0.0

```

```

197     for j in range(1, len(x)-1):
198         wj = 0.5*(x[j+1]-x[j-1])
199         errL2 += wj * (T[j]-Tex[j])**2
200     errL2 = math.sqrt(max(errL2, 0.0))
201
202     errorL2_hist.append(errL2)
203     NX_hist.append(NX)
204
205     Txx_final = central_second_derivative_nonuniform(x, T)
206     metric_stationary = np.minimum(1.0/hmin**2, np.maximum(1.0/hmax**2,
np.abs(Txx_final)/err_curv))
207     hloc_stationary = 1.0/np.sqrt(metric_stationary)
208     last_hloc_stationary = (x.copy(), hloc_stationary.copy())
209
210     Mback_avg = Mback_sum / max(Mback_count, 1)
211     metric_timeavg_nodes = interpolate_piecewise_linear(background_mesh,
Mback_avg, x)
212     metric_timeavg_nodes = np.minimum(1.0/hmin**2, np.maximum(1.0/hmax
**2, metric_timeavg_nodes))
213     hloc_timeavg = 1.0/np.sqrt(metric_timeavg_nodes)
214     last_hloc_timeavg = (x.copy(), hloc_timeavg.copy())
215
216     # Conserve UNIQUEMENT les données de cette itération (dernière si on
sort)
217     snapshots_final = snapshots
218     residuals_final = residuals
219     times_r_final = times_r
220     Tex_final = Tex
221     x_final = x
222
223     # Critère d'arrêt mixte
224     hloc_to_use = hloc_timeavg if USE_TIME_AVG_METRIC else
hloc_stationary
225     x_new = build_new_mesh_from_hloc(x, hloc_to_use, hmin, hmax)
226     NX_new = len(x_new)
227
228     cond_points = (NX_new >= NX_min_required)
229     cond_error = (errL2 <= L2_tol)
230     print(f"[Iter {itera}] NX_old={NX}, NX_new={NX_new}, L2={errL2:.3e},
"
231           f"points_ok={cond_points}, error_ok={cond_error}")
232
233     if (cond_points and cond_error) or itera >= niter_refinement_max:
234         break
235     NX = NX_new
236
237     # ----- TRACÉS (une seule fois) -----
238     # 1) Solution u(x,t) aux instants demandés
239     plt.figure("Solution u(x,t) à différents instants"); plt.clf()
240     for tk in [0.1, 0.2, 0.3, 0.5, 0.6, 0.7, 0.8, 0.9, 1.0]:
241         if tk in snapshots_final:

```

```

242         xs, Ts = snapshots_final[tk]
243         plt.plot(xs, Ts, label=f"t={tk:.1f}s")
244     if Tex_final is not None:
245         plt.plot(x_final, Tex_final, label="u_ex(x,1.0s)")
246     plt.xlabel("x"); plt.ylabel("u"); plt.legend()
247     plt.title("u(x,t) pour t {0.1,0.2,0.3,0.5,0.6,0.7,0.8,0.9,1.0}")
248
249     # 2) Résidu instationnaire
250     plt.figure("Résidu vs temps (instationnaire)"); plt.clf()
251     if len(times_r_final)>0:
252         plt.plot(np.array(times_r_final), np.array(residuals_final))
253     plt.xlabel("temps"); plt.ylabel("résidu (somme |RHS|)")
254     plt.title("Le résidu ne converge pas vers 0 (forçage périodique)")
255
256     # 3) h(x) final : stationnaire vs moyenne en temps (deux courbes sans
257     # doublons)
258     plt.figure("Distribution h(x) finale"); plt.clf()
259     xs, hs = last_hloc_stationary
260     xt, ht = last_hloc_timeavg
261     plt.plot(xs, hs, label="h_stationnaire(t=Time)")
262     plt.plot(xt, ht, label="h_moyenne_temps")
263     plt.xlabel("x"); plt.ylabel("h local"); plt.legend()
264     plt.title("Longueurs locales désirées h(x)")
265
266     iters = np.arange(1, len(errorL2_hist)+1)
267
268     # Sauvegardes
269     plt.figure("Solution u(x,t) à différents instants")
270     plt.savefig("solutions_instants.png", dpi=150, bbox_inches="tight")
271     plt.figure("Résidu vs temps (instationnaire)")
272     plt.savefig("residu_vs_temps.png", dpi=150, bbox_inches="tight")
273     plt.figure("Distribution h(x) finale")
274     plt.savefig("h_distribution.png", dpi=150, bbox_inches="tight")

```